

考慮材料塑性的結構計算

A. P. 尔然尼采



建筑工程出版社

考慮材料塑性的結構計算

趙超燮 葉子政 沈參璜 譯

建筑工程出版社出版

• 1957 •

內容提要 本書講述根據彈塑性材料理想工作圖按極限狀態計算結構的理論和時間對應力狀態影響的計算，同時詳細說明利用機率理論確定安全系數的一些問題。此外，還介紹了關於彈粘性構件和非線性變形的概念。

本書供土建工程師、設計工作者、科學研究工作者以及研究生閱讀。

本書序言、第一、二、三、四、五、六、七、十一、十二、十四章結束語由趙超燮譯，第八、九、十章由葉子政譯，第十三章由沈參璜譯，第一至五章由沈參璜校閱，全書由趙超燮校訂。

書中的譯者注是供一般工程師參考的。

原本說明

書名 РАСЧЕТ СООРУЖЕНИЙ С УЧЕТОМ ПЛАСТИЧЕСКИХ СВОЙСТВ МАТЕРИАЛОВ(ИЗДАНИЕ 2-Е ПЕРЕРАБОТАННОЕ)

著者 А.Р. Ржаницын

出版者 Государственное издательство литературы по строительству и архитектуре

出版地点及年份 Москва—1954.10.27

考慮材料塑性的結構計算

趙超燮 葉子政 沈參璜 譯

*

建筑工程出版社出版 (北京市阜成門外南草市街)

(北京市審刊出版業營業許可證出字第059號)

建筑工程出版社印刷廠印刷·新華書店發行

書號552 230千字 870×1092 1/30 印張 9⁹/15

1957年8月第1版 1957年8月第1次印刷

印數：1—2,050册 定價 (J1) 2.20 元

目 录

序 言	7
第一章 結構按极限状态計算的理論	8
第一節 建筑力学中綫性和非綫性問題	8
第二節 虎克定律的偏差	12
第三節 結構按容許应力原理計算的应用範圍	15
第四節 結構的極限状态	17
第五節 彈塑性超靜定結構極限荷載的求法	18
第六節 彈塑性超靜定結構的計算例題	20
第七節 不考慮強化的彈塑性結構計算理論的应用範圍	23
第八節 按極限状态計算的經濟性及其应用範圍	24
第二章 彈塑性梁的受弯計算	27
第一節 平面截面假設	27
第二節 超過彈性極限時梁截面的工作	29
第三節 塑性截面矩量	32
第四節 梁受弯时的塑性区域	34
第五節 彈塑性矩形截面梁的垂度	37
第六節 極限状态时梁有限垂度的条件	41
第七節 初应力、卸載和重复荷載的影响	43
第三章 按极限状态計算超靜定梁	47
第一節 塑性鉸的概念	47
第二節 確定連續梁極限状态的机动法和靜力法	50
第三節 多跨連續梁的極限状态	54
第四節 支座沉陷、卸載和重复荷載的影响	56
第五節 實驗資料	60
第六節 彈性地基上的彈塑性梁	63
第四章 杆在弯矩和縱向力同时作用下按极限状态的計算	67
第一節 斜向弯曲时截面的極限状态	67

第二節	偏心受压或受拉杆截面的极限状态	70
第三節	斜向偏心受压或受拉	74
第四節	彈塑性拱的极限状态	77
第五章	彈塑性結構的一般計算理論	81
第一節	超靜定結構的自应力状态	81
第二節	正交和标准自应力状态	83
第三節	結構具有無限自由度时自应力概念的推广	84
第四節	一次超靜定結構塑性状态时自应力的变化	85
第五節	彈塑性超靜定梁的可能状态范围	88
第六節	加载时塑性变形的求法	91
第七節	变荷載的情形	95
第八節	不同荷載依次更替作用的情形	98
第九節	兩次超靜定結構	101
第十節	作用在結構上的变荷載	104
第六章	复杂应力状态的塑性	108
第一節	微小彈塑性变形的理論	108
第二節	塑性理論方程	109
第三節	体积改变的变形和形狀改变的变形	113
第四節	应力張量和变形張量的不变量	115
第五節	八面体的剪应力和剪变形	118
第六節	理想的彈塑性材料和塑性条件	121
第七節	連續体的極限状态	126
第八節	簡單加载規律	126
第七章	具有剪应力时的杆截面极限状态	128
第一節	純扭轉时的極限状态	128
第二節	圓柱杆受扭同时受拉	133
第三節	薄条受拉同时受扭	137
第四節	薄条受弯同时受扭	139
第五節	剪力对截面承重能力影响的近似計算法	140
第六節	弯矩和剪力同时作用下的截面極限状态	144
第七節	开口截面薄壁杆承受約束扭轉时的極限状态	151
第八章	平板的极限状态	156
第一節	周邊簡支彈塑性板的破坏形状	156

第二節	簡支板的特殊情形	162
第三節	非周邊支承板	164
第四節	自由(單向)支承板	169
第五節	周邊固定板	172
第六節	平板邊緣塑性鉸不閉合時的對稱破壞形狀	176
第七節	周邊固定並承受均布荷載的平板	181
第九章	應力和變形成幕函數關係時超靜定結構的計算	186
第一節	一般定理	186
第二節	超靜定結構的計算例題	189
第三節	應力和變形成幕函數關係時梁的彎曲	190
第十章	彈粘性結構	195
第一節	線性變形物体物理規律的確定	195
第二節	簡單的非松弛物体	196
第三節	松弛	199
第四節	變形規律的進一步確定	200
第五節	簡化的基本線性變形規律	202
第六節	彈粘性構件的各種加載情形	204
第七節	變形按已知規律的變化	208
第八節	先前加載的影響函數	210
第九節	應力和變形的關係圖	213
第十一章	線性變形的一般規律	218
第一節	加載對變形的影響函數	218
第二節	卸載後的變形	221
第三節	穩定和不穩定的變形規律	223
第四節	成幕函數的影響函數	225
第五節	有奇異點($t=0$)的影響函數	228
第十二章	材料的非線性變形	232
第一節	變形和應力的似線性關係	232
第二節	超過線性關係應用範圍時的近似變形規律	233
第三節	勻速增長的變形	236
第四節	超過線性關係時較準確的變形簡圖	238
第五節	超過線性變形範圍的卸載規律	242
第十三章	計算結果準確度的概率	244

第一節 考慮計算值的隨機誤差	244
第二節 概率分布曲線	244
第三節 分布表面	247
第四節 多變數的情形	253
第五節 正態分布定律	255
第六節 隨機量函數變異系數的求法	257
第十四章 由破壞应力狀態過渡到容許应力狀態	261
第一節 結構破壞概率的求法	261
第二節 安全系数的求法	265
第三節 鋼結構的計算例題	266
第四節 匀質系数和超載系数	268
第五節 加載次數的影響和結構破壞簡圖	273
結 束 語	278
參考書刊	
中俄人名對照表	

序　　言

近来，結構強度和剛度的計算方法，向更完善地考慮結構實際工作條件方面順利發展。但在超過彈性工作階段的結構計算方面，大多數科學研究著作仍然未能廣泛地為工程師們所掌握，這是由於這些著作本身的複雜性，以及發表在各種銷行數量不多的文集和雜誌上的緣故。本書是著者所寫“考慮材料塑性的結構計算”（海軍建設出版社，1949年俄文版）一書的第二版修訂本。本書的目的是向土建工程師們介紹超過彈性極限時結構計算問題的現狀，以及如今摆在研究工作者面前有關結構理論方面的一些問題。同時在書內還闡述著者對上述問題的一些獨特研究和看法。

本書根據結構是理想彈塑性結構的假設，着重研究結構按極限狀態（極限平衡）計算的理論。此外，還講到彈粘性結構計算的基本概念，這種結構在恒載作用下應力狀態具有隨時間變化的特性，也就是具有徐變和松弛的特性。最後講述如何確定安全系數，以及按照結構可能出現極限狀態來確定其容許工作狀態的新原理。

本書並不準備全面研究材料和結構的非彈性工作問題，因為這樣一來，就要增加很多的篇幅。應當指出，在本書的第二版中，主要是增加了理想彈塑性結構工作理論的一般原理，塑性力學原理以及有關彈粘性結構方面的理論。結構計算的一般原理以及梁式結構的計算方法，為制定其它形式的結構（例如框架、桁架、殼體）的計算方法奠定基礎。有些著者在他們的著作中發表對這些計算方法的研究（見附錄的參考書刊）。

大體上，結構按其恰在破壞之前並規定為工作（結構的容許應力狀態）階段的計算方法的研究和應用，不但在材料上、資金上可以得到巨大的節約，而且能提高結構物的安全性。根據上面的敘述，這個問題是具有很大的國民經濟意義。因此，本書如能促進解決這個問題，著者就可以認為是盡到了自己的職責。

第一章 結構按極限狀態計算的理論

第一節 建築力學中線性和非線性問題

古典建築力學中較大部分方程是線性方程。建築力學的一些基本方程之所以是線性方程，主要是根據下列簡化的結構工作假設：

- 1) 假設結構的計算簡圖和尺寸在整個加載過程中都沒有變化；
- 2) 应力和變形之間保持均勻的線性關係❶（虎克定律）。

建築力學中許多問題是不能滿足這兩個假設的。例如在結構工作過程中，計算簡圖在下列情形就發生變化。

(1) 結構變形的數值與結構尺寸同級。如果變形很大或者結構的某些尺寸（例如厚度）很小，就會發生結構失去平衡穩定性的現象，這在工程結構靜力穩定性理論中詳細研究。

下面的例題可以用來說明大變形情形。設一拉得很緊的彈性綫繫在點A和B上（圖1）。在綫的中點C加一堅向力P。

利用虎克定律❷求出綫的拉力S和力P之間的關係；

$$S = EF \frac{l - l_0}{l_0}, \quad 1.1$$

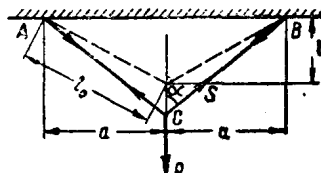


圖1 拉得很緊的彈性綫

- ❶ 如果所有自變數等於零，則函數的均勻線性關係就變為零。
- ❷ 在有限變形理論中，有時將符合下列定律的物体認為是彈性體：

$$S = EF \ln \frac{l}{l_0}. \quad 1.1a$$

實際拉得很緊的物体，其內力和變形之間有各種不同的關係。定律1.1適合于彈性螺旋彈簧，而定律1.1a更符合于橡皮，可是它不是彈性體。

式中 l_0 ——半条綫的原来長度；

l ——加載后半条綫的最后長度；

E ——綫材料的彈性模量；

F ——橫截面面积。

將汇交在点 C 的各力投影在堅直軸上，写出节点 C 的平衡条件：

$$P = 2S \cos\alpha = 2S \sqrt{1 - \frac{a^2}{l^2}}, \quad 1.2$$

式中 a ——半条綫的水平投影。

从式1.1得到

$$l = l_0 \left(1 + \frac{S}{EF} \right).$$

將 l 值代入式1.2，求得

$$P = \frac{2S}{1 + \frac{S}{EF}} \sqrt{\left(1 + \frac{S}{EF} \right)^2 - \frac{a^2}{l_0^2}}.$$

为了簡化上式，設

$$p = \frac{P}{EF}, \quad s = \frac{S}{EF}. \quad 1.3$$

于是得到

$$p = \frac{2s}{1+s} \sqrt{(1+s)^2 - \frac{a^2}{l_0^2}}. \quad 1.4$$

外力 P 和內力 S 之間是非綫性关系。图 2 就是 $a=l_0$ 时， P 与 S 之間的关系图。

当 s 值远小于 1 时，可以得到綫性关系：

$$p = 2s \sqrt{1 - \frac{a^2}{l_0^2}} = 2 \frac{b}{l_0} s. \quad 1.5$$

这时，我們应当認為在所研究的 p 值范围内，綫的垂度 b 接近于常数。

当 $l_0 < a$ 时得到綫予先受拉的情形 (l_0 —在予先受拉前的半条綫長度)。这里 s 值不能小于予拉力 s_0 ：

$$s_0 = \frac{a}{l_0} - 1. \quad 1.6$$

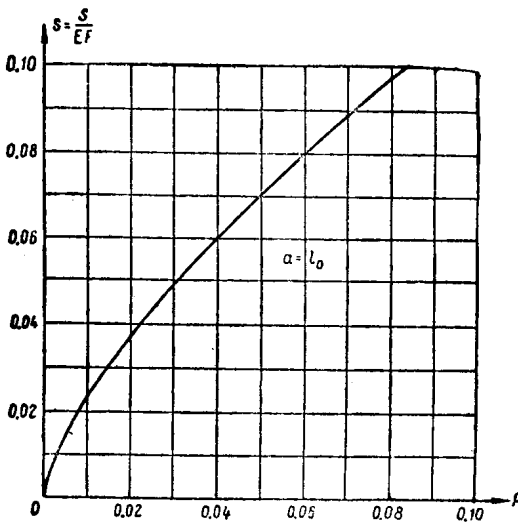


图 2 受拉线内力和外来荷载之间的关系图

当 $s = s_0$ 时, 从公式 1.4 得到 P 等于零。

从公式 1.4 求出导数 $\frac{dp}{ds}$:

$$\frac{dp}{ds} = \frac{2 \sqrt{(1+s)^2 - \frac{a^2}{l_0^2}}}{(1+s)^2} + \frac{2s}{\sqrt{(1+s)^2 - \frac{a^2}{l_0^2}}}. \quad 1.7$$

当 $s = 0$ 时, 导数

$$\frac{dp}{ds} = 2 \sqrt{2 - \frac{a^2}{l_0^2}},$$

这就是公式 1.5 的导数。

在线予先受拉的情形下, $s = s_c = \frac{a}{l_0} - 1$ 时:

$$\frac{dp}{ds} = \frac{2s_c}{0} = \infty.$$

這也就是說，開始加載後 p 值無論怎樣小， p 和 s 之間的線性關係早就不存在了。

應當指出，差不多各種建築材料的變形（不會導致破壞的）都很小，因此在實踐中根本很難遇到大變形的情形。

(2) 加載過程中結構上約束的改變。這是常有的情形，特別是在單向約束的情形下發生得更多。所謂單向約束，也就是只能在一個方向工作，例如兩個物体簡單接觸時，第二個物体只能阻礙第一個物体在一個方向運動，而不能阻止第一個物体在相反方向運動。

我們可以取自由擋置在剛性地基上的彈性梁來作為單向約束的例題(圖3a)。梁承受自重 $g \text{ kg/cm}^2$ 和中點上頂力 P 。設梁被頂起部分的長度為 a 。

沒有被頂起部分的地基反力完全與梁的自重相互平衡。因此梁上沒有被頂起部分不傳遞任何力量給被頂起部分，只是在梁與地基的彎起處發生集中支座反力。這樣在中間部分得到兩端固定、跨度為 a 的梁，梁承受均布荷載 g 和負集中力 P 。根據固定端彎矩等於零的條件求得未知長度 a ：

$$-\frac{ga^2}{12} + \frac{Pa}{8} = 0.$$

由此

$$a = \frac{3}{2} \frac{P}{g}. \quad 1.8$$

荷載 P 作用處截面的彎矩為

$$M_{\max} = -\frac{Pa}{8} + \frac{ga^2}{24} = \frac{3}{32} \frac{P^2}{g}. \quad 1.9$$

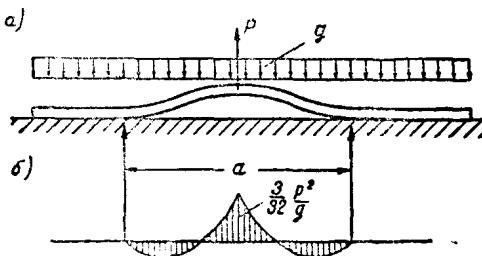


圖 3 剛性地基上自由拱起的柔性梁

图36是梁的弯矩图。

我們看出，最大加载截面处的弯矩和力 P 之間不是線性关系，甚至在 P 值很小时也不能近似地認為是線性关系。

第二節 虎克定律的偏差

計算結構时，非線性关系的主要根源就是材料不能符合虎克定律所产生的偏差。差不多所有建筑材料在破坏的瞬时，应力和变形之间的关系与虎克定律(正比定律)有很大的偏差。因此对于各种建筑材料，可以采用一些简化的(假设的)材料工作图来代替虎克定律，也就是用应力和变形之间的曲线关系来代替线性关系。这些曲线是根据实验资料和考虑到计算的简化，而按照某一简单的数学规律繪制而成的。

图4、5和6上所画的是建筑钢、木材和混凝土等材料的工作图。

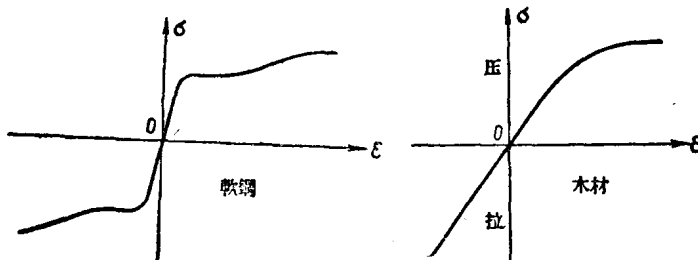


圖 4 軟鋼工作图

圖 5 木材工作图

通常采用下列简化的材料工作图：

- 1) 脆性材料在已知极限(极限强度)以前采用斜直线图(虎克定律)，超过极限强度后应力瞬间减小到零(图7)。
- 2) 理想弹塑性材料在某一极限(屈服点)以前采用斜直线图，然后是水平直线，这时应力是常量，而变形无限增加(图8)；这种图最适用于建筑钢。

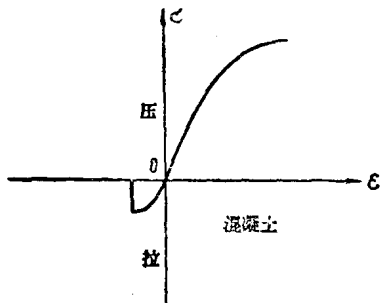


圖 6 混凝土工作图

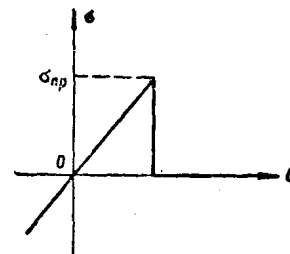


圖 7 脆性材料的简化工作图

3) 考虑强化的弹塑性材料采用两条斜直线图, 其中第一条线通过坐标原点, 它相应于材料的弹性工作阶段; 而第二条线的斜率较小(图 9)。

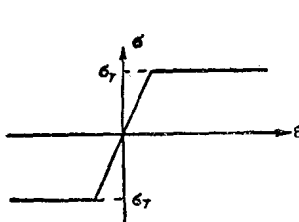


圖 8 理想弹塑性材料的
简化工作图

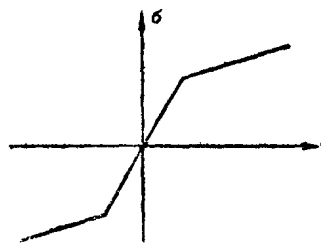


圖 9 考虑强化的弹塑性材料
简化工作图

其它的简化工作图, 例如抛物线形等等也时常采用。

今后我們認為塑性或弹塑性構件适合采用图 8 的理想工作图, 这时不考虑强化。

只有在超靜定結構中, 材料工作图的形状才能影响內力分布, 这是因为超靜定結構的內力分布取决于各个構件的变形。彈塑性超靜定結構中內力和外来荷載之間的关系, 即使根据图 8 的简化工作图也是非線性的。

現在用下列簡單例題來說明这一点。

設有同一材料制成的三个杆悬挂在刚性平面上，而下端用铰连接(图10)。各杆横截面面积相同都等于 F 。力 P 作用在各杆的连接点 A 。杆内应力 σ_1, σ_2 和力 P 之间的关系，就依結構的不同工作阶段而不同。

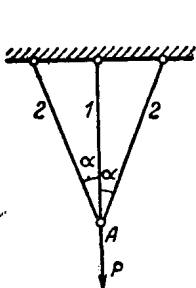


圖 10 超靜定
杆件結構

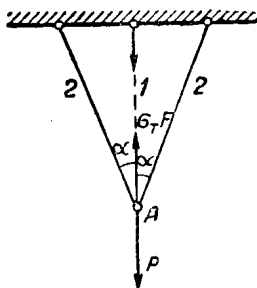


圖 11 彈塑性超靜
定杆件結構的第二
工作阶段

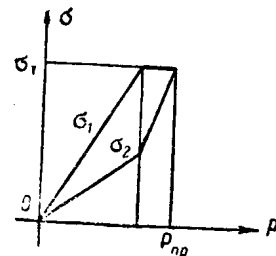


圖 12 彈塑性超靜定杆件
应力和荷载之間的关
系图

在第一工作阶段时各杆应力都未到达屈服点 σ_T ，其应力可用普通計算彈性結構的方法来确定：

$$\sigma_1 = \frac{P}{F(1+2\cos^3\alpha)}; \quad \sigma_2 = \frac{P \cos^2\alpha}{F(1+2\cos^3\alpha)}; \quad (1.10)$$

$$(\sigma_1 > \sigma_T, \sigma_2 < \sigma_T).$$

在力 P 增加的过程中，当

$$P = \sigma_T F(1+2\cos^3\alpha); \quad \sigma_2 = \sigma_T \cos^2\alpha. \quad (1.11)$$

时，中間杆首先到达屈服点。

① 從圖10, 根据 $\Sigma y=0$; 得 $2\sigma_2 \cos\alpha + \sigma_1 - P = 0$

根据彎形條件知道 $al_2 = al_1 \cos\alpha$; ∵ $al_2 = \frac{\sigma_2 l_2}{E}$, $al_1 = \frac{\sigma_1 l_1}{E}$; ∴ $\sigma_2 l_2 = \sigma_1 l_1 \cos\alpha$.

∴ $l_1 = l_2 \cos\alpha$, ∴ $\sigma_2 l_2 = \sigma_1 l_2 \cos^2\alpha$ 即 $\sigma_2 = \sigma_1 \cos^2\alpha$.

代入上面平衡方程就得到

$$\sigma_1 = \frac{P}{1+2\cos^3\alpha}; \quad \sigma_2 = \frac{P \cos^2\alpha}{1+2\cos^3\alpha}. \quad \text{——譯者注。}$$

如果繼續增加力 P ，就只能依靠增加兩個邊杆的應力。這時中間杆的應力保持常數，等於 $\sigma_r F'$ 。結構在第二工作階段（圖11）時，兩個邊杆內的應力為

$$\sigma_2 = \frac{P - \sigma_r F'}{2F' \cos \alpha} \quad 1.12$$

最後，當

$$P = P_{np} = \sigma_r F' (1 + 2 \cos \alpha) \quad 1.13$$

時，兩個邊杆內的應力也達到屈服點，以後就不能繼續增加力 P 了。因而按公式 1.13 求得的力 P 是極限值，或者說是破壞值。

應力 σ_1 、 σ_2 和力 P 之間的關係可用兩條折線來表示（圖12），那時應力 σ_1 或 σ_2 和力 P 之間的均勻線性關係，在力 P 由零增加到破壞值 P_{np} 的整個區間內可用一直線來表示。

第三節 結構按容許應力原理 計算的應用範圍

力作用獨立性原理就是：幾個荷載的作用等於每個荷載單獨作用的和。只有所研究的作用和荷載值成均勻的線性關係時，才能應用這個原理。力作用獨立性原理的解析式實際上可以寫成：

$$\Phi(P'_1, P'_2, \dots, P'_n) = \Phi_1(P_1) + \Phi_2(P_2) + \dots + \Phi_n(P_n), \quad 1.14$$

式中 P_i ($i = 1, 2, \dots, n$)——荷載；

Φ ——全部荷載的作用；

Φ_i ($i = 1, 2, \dots, n$)——一個別荷載的作用。

在 $P_1 = P_2 = \dots = P_n = P_i$ 的情形下，從式 1.14 得到

$$\Phi(nP_i) = n\Phi_i(P_i). \quad 1.15$$

方程 1.15 兩端除以 nP_i ，得到

$$\frac{\Phi(nP_i)}{nP_i} = \frac{\Phi_i(P_i)}{P_i}. \quad 1.16$$

由於 n 是任意常數，等式 1.16 右端應當是常數，我們設此常數

为 C_i 。于是得到

$$\Phi_i(P_i) = C_i P_i (i=1, 2, \dots, n), \quad 1.17$$

同时按照式 1.14

$$\Phi(P_1, P_2, \dots, P_n) = C_1 P_1 + C_2 P_2 + \dots + C_n P_n. \quad 1.18$$

因此所求的数个荷载 P_i 的作用 Φ 应当是变数 P_i 的均匀线性函数。

符合力作用独立性原理的结构，更精确地说凡是应力和变形之间有均匀线性关系的结构，可以按容许应力来计算，破坏应力除以安全系数叫作容许应力。

$$[\sigma] = \frac{\sigma_{np}}{k}, \quad 1.19$$

式中 $[\sigma]$ —— 容许应力；

σ_{np} —— 破坏应力（有时取屈服点 σ_r 作为破坏应力）；

k —— 安全系数。

引用安全系数之后，可以充分保证结构不致于因为强度和荷载数值与计算值的可能误差而引起破坏。极限荷载（结构强度的特征）与容许荷载（使用时的容许荷载）的比值是安全系数：

$$k = \frac{P_{np}}{P_{don}}. \quad 1.20$$

虽然加载形式不同，一种材料所制成的各种结构，通常采用相同的安全系数。最近转向确定分开来的安全系数（参阅第十四章）。认为安全系数应由结构上的作用荷载来确定。当荷载与应力之间具有均匀线性关系时，由式 1.20 很容易化为式 1.19。在非线性关系时，将关系式 $P = \Phi(\sigma)$ 、 $P_{np} = \Phi(\sigma_{np})$ 都除以安全系数，得到

$$P_{don} = \frac{P_{np}}{k} = \frac{\Phi(\sigma_{np})}{k} \neq \Phi\left(\frac{\sigma_{np}}{k}\right),$$

这是由于不适用力作用独立性原理而得出的结论。因此应力与荷载之间是非线性关系时，只能用极限荷载除以安全系数的方法来求容许荷载。这时已不适用按容许应力方法来计算。